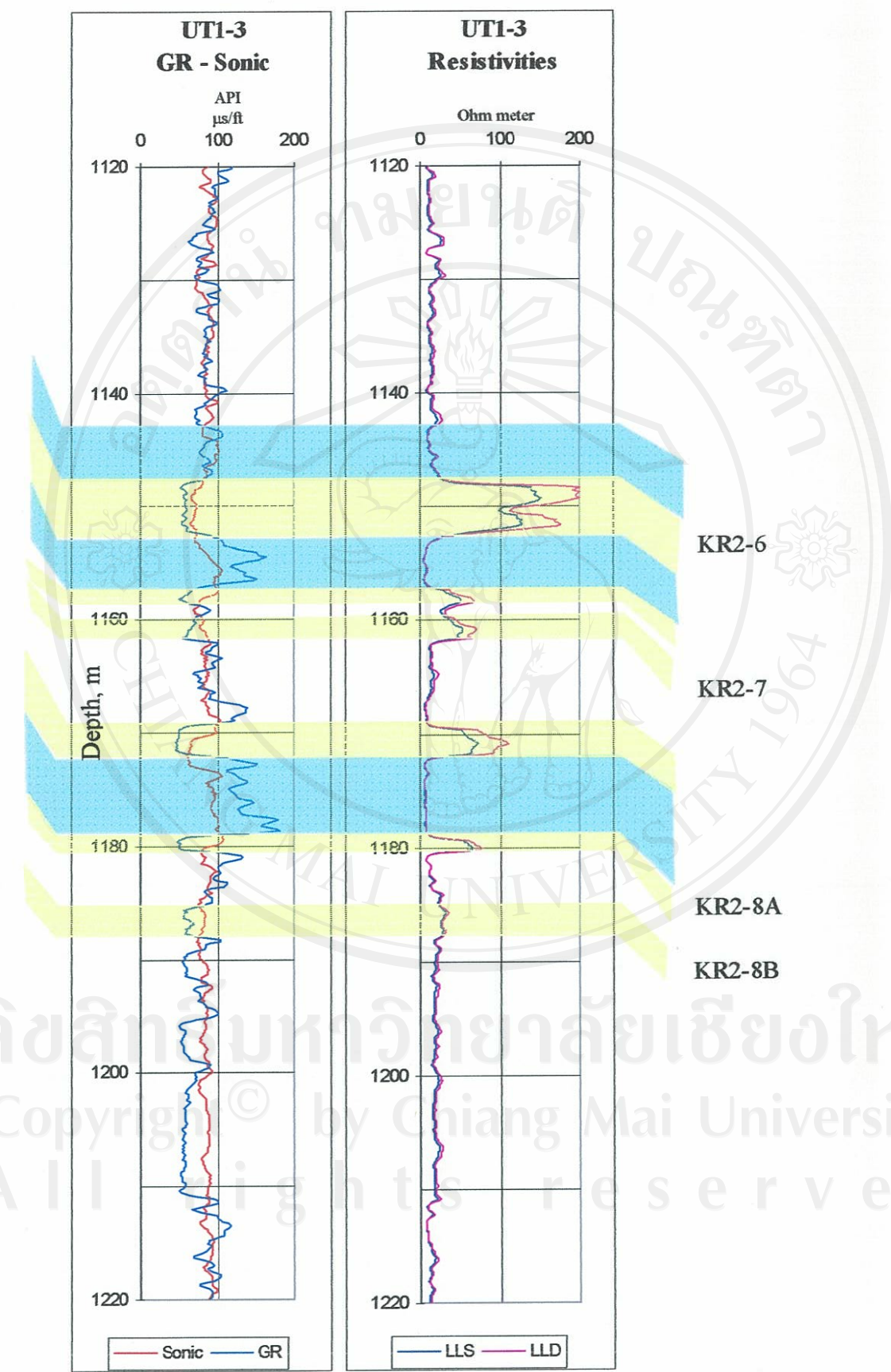
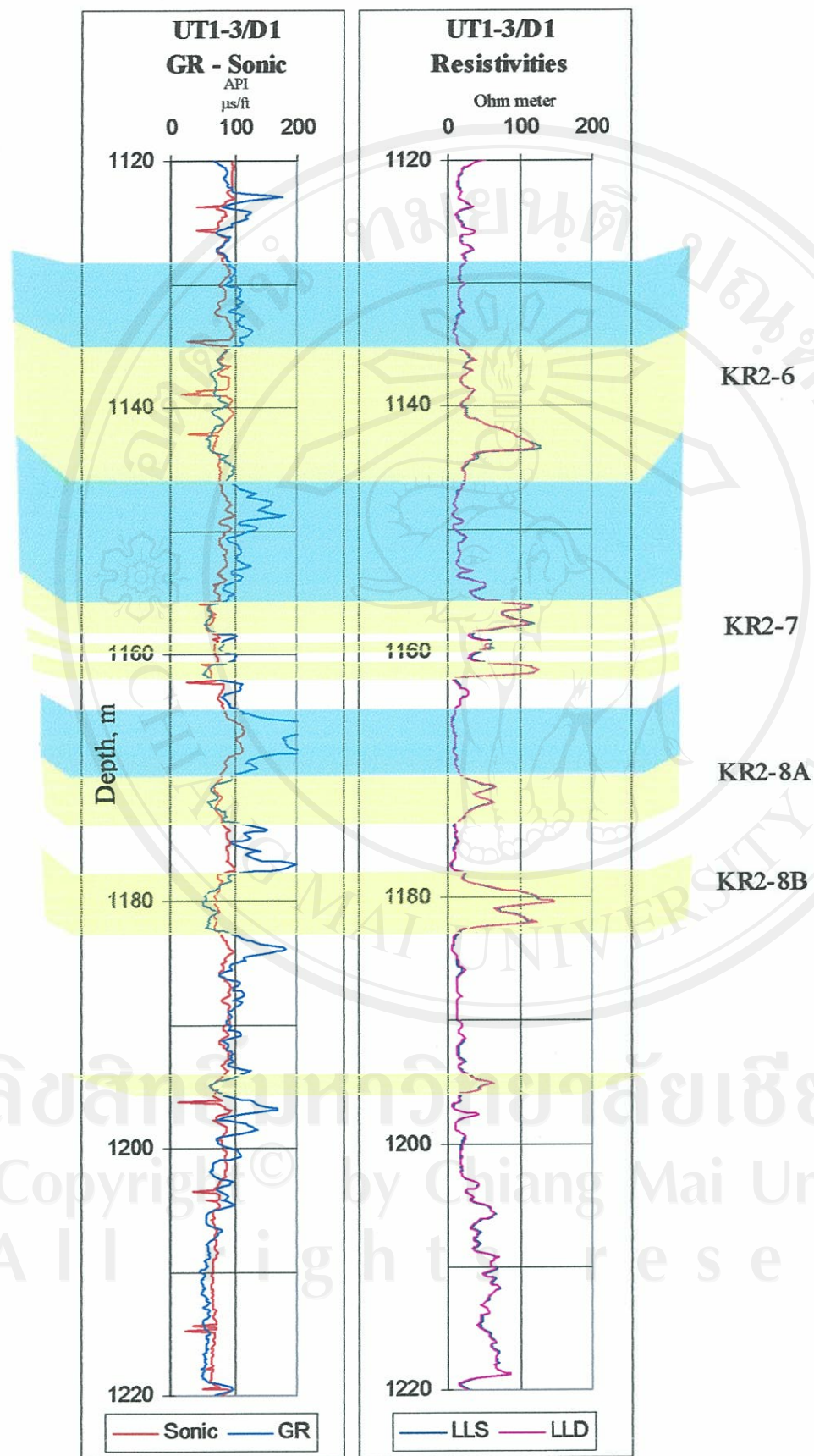
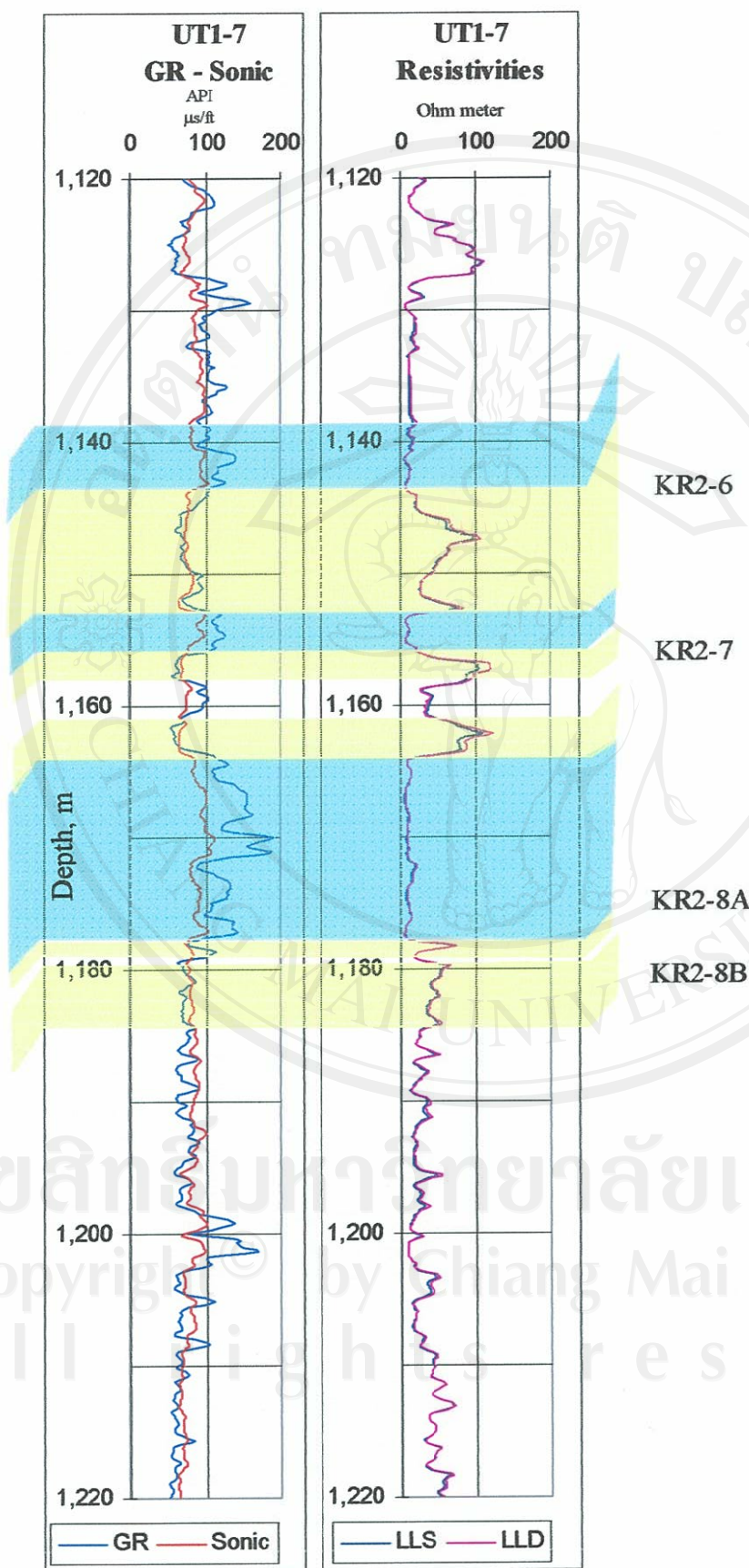


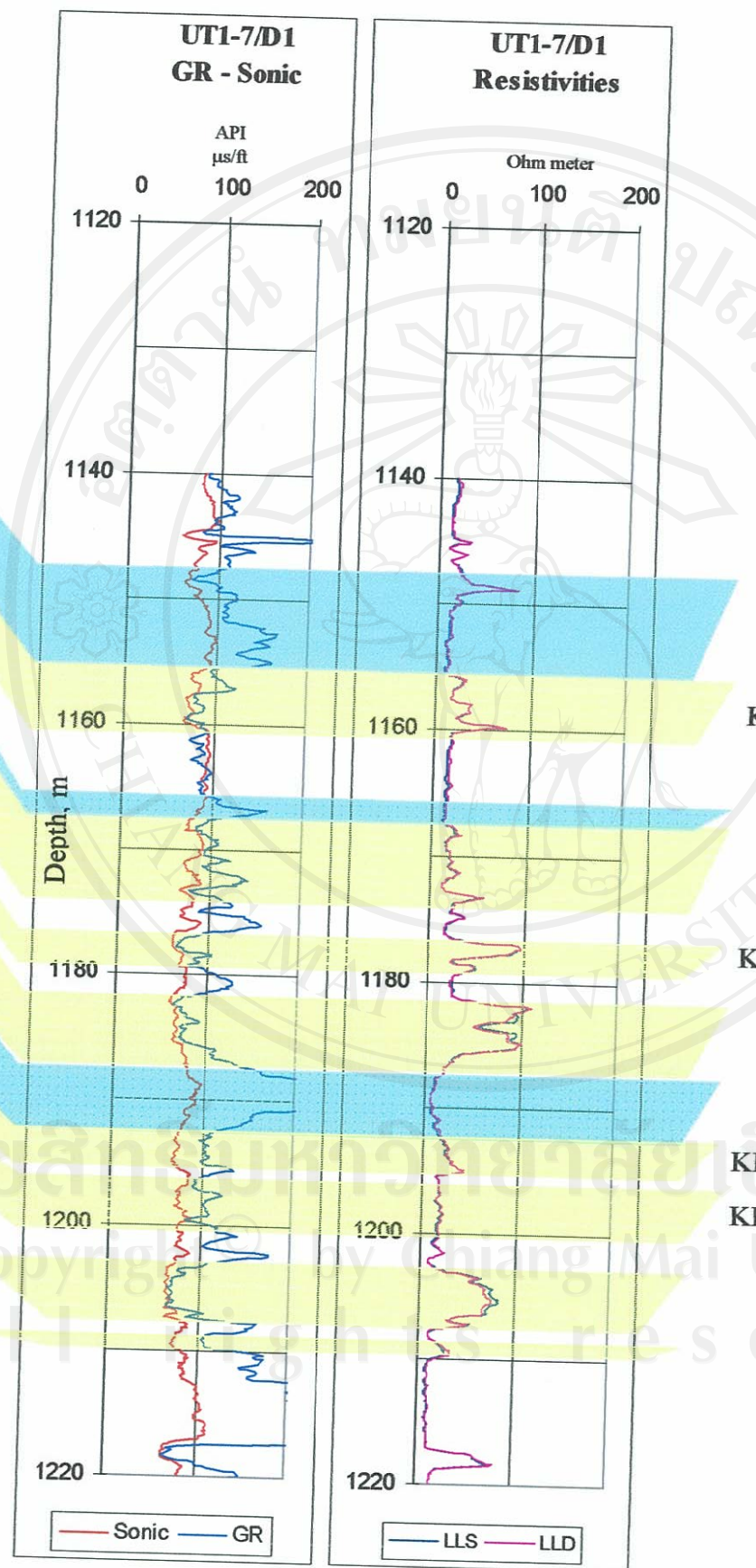
ลิขสิทธิ์มหาวิทยาลัยเชียงใหม่  
Copyright<sup>©</sup> by Chiang Mai University  
All rights reserved

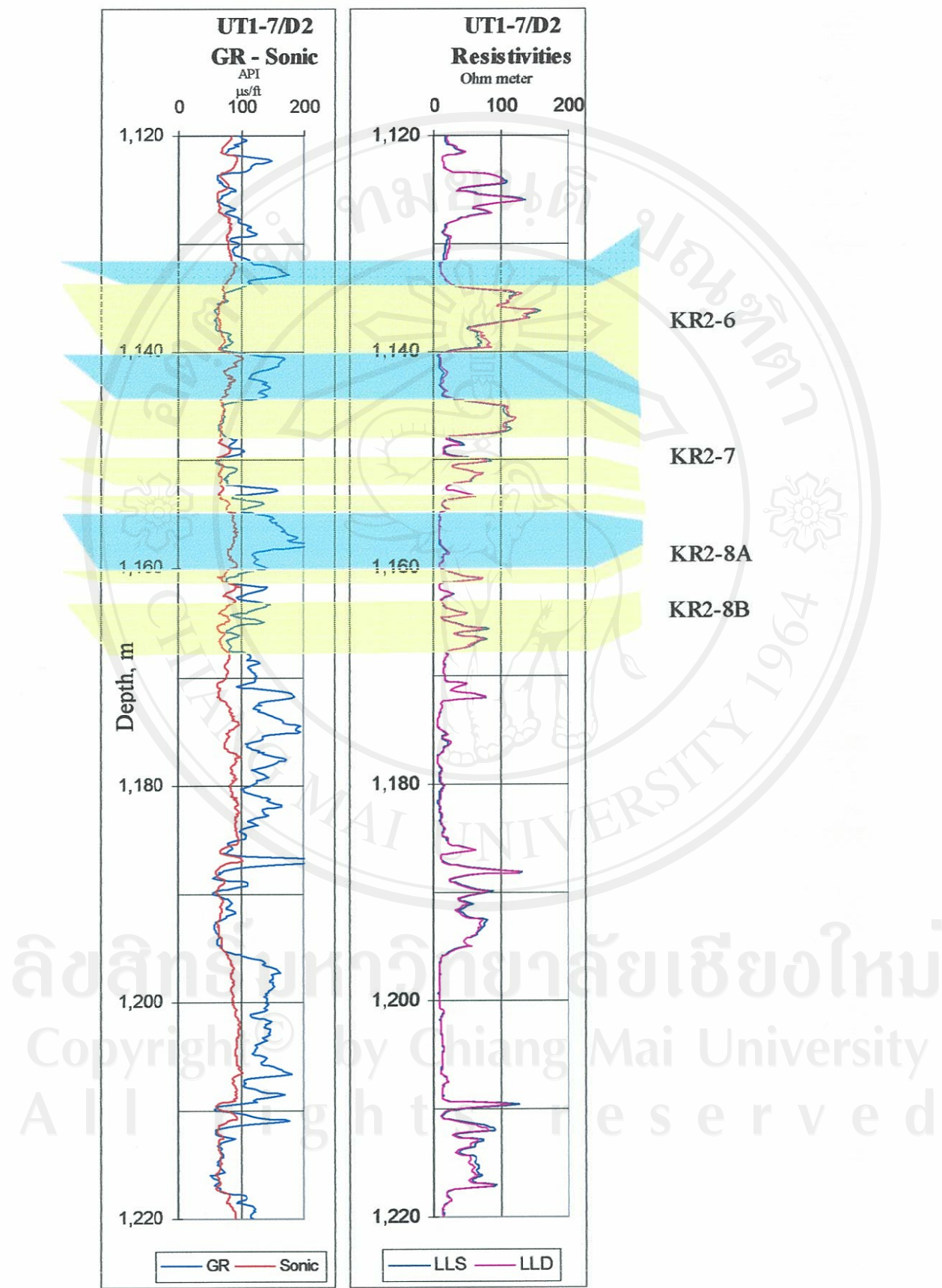


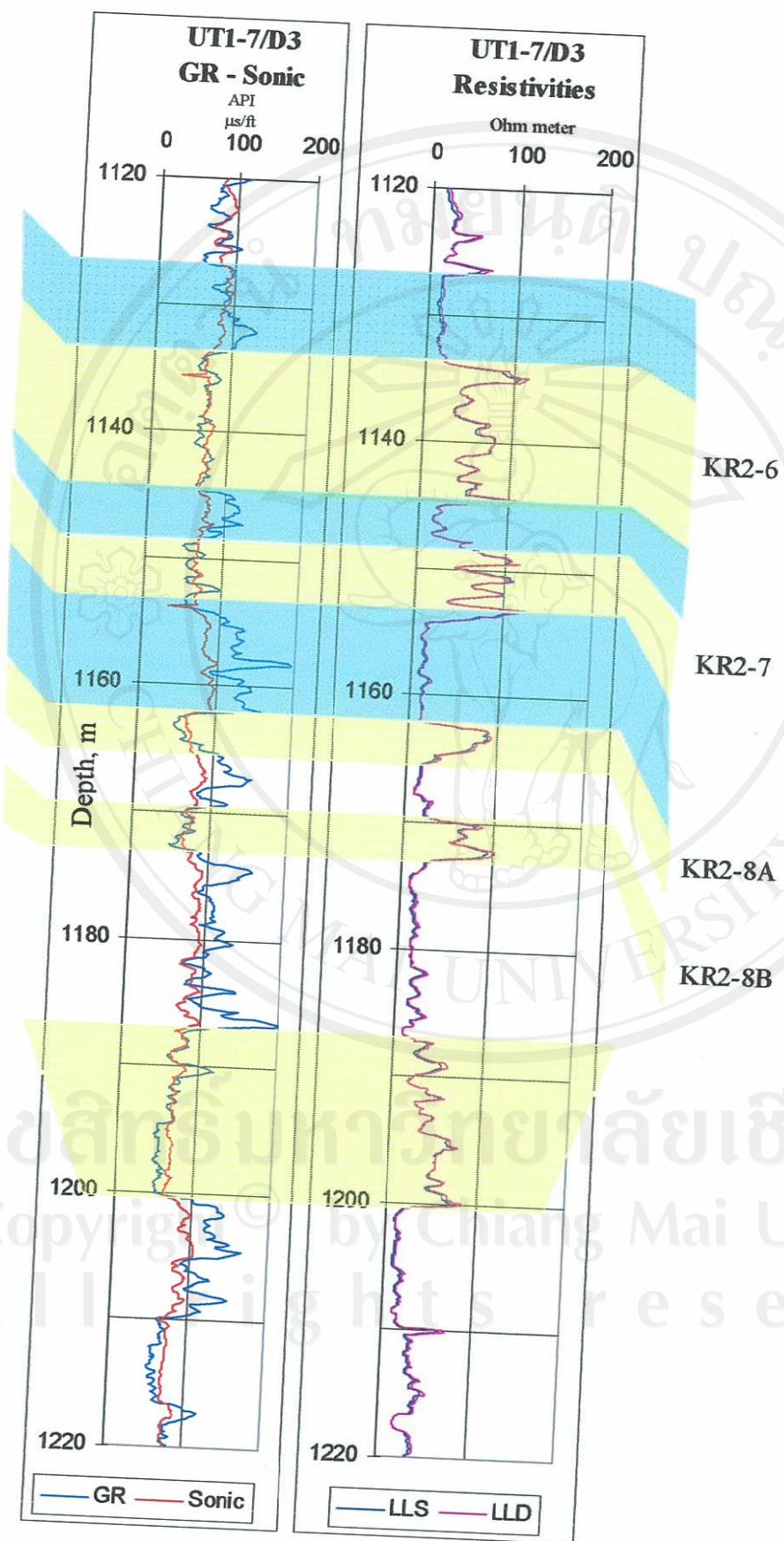
Copyright © by Chiang Mai University  
All rights reserved



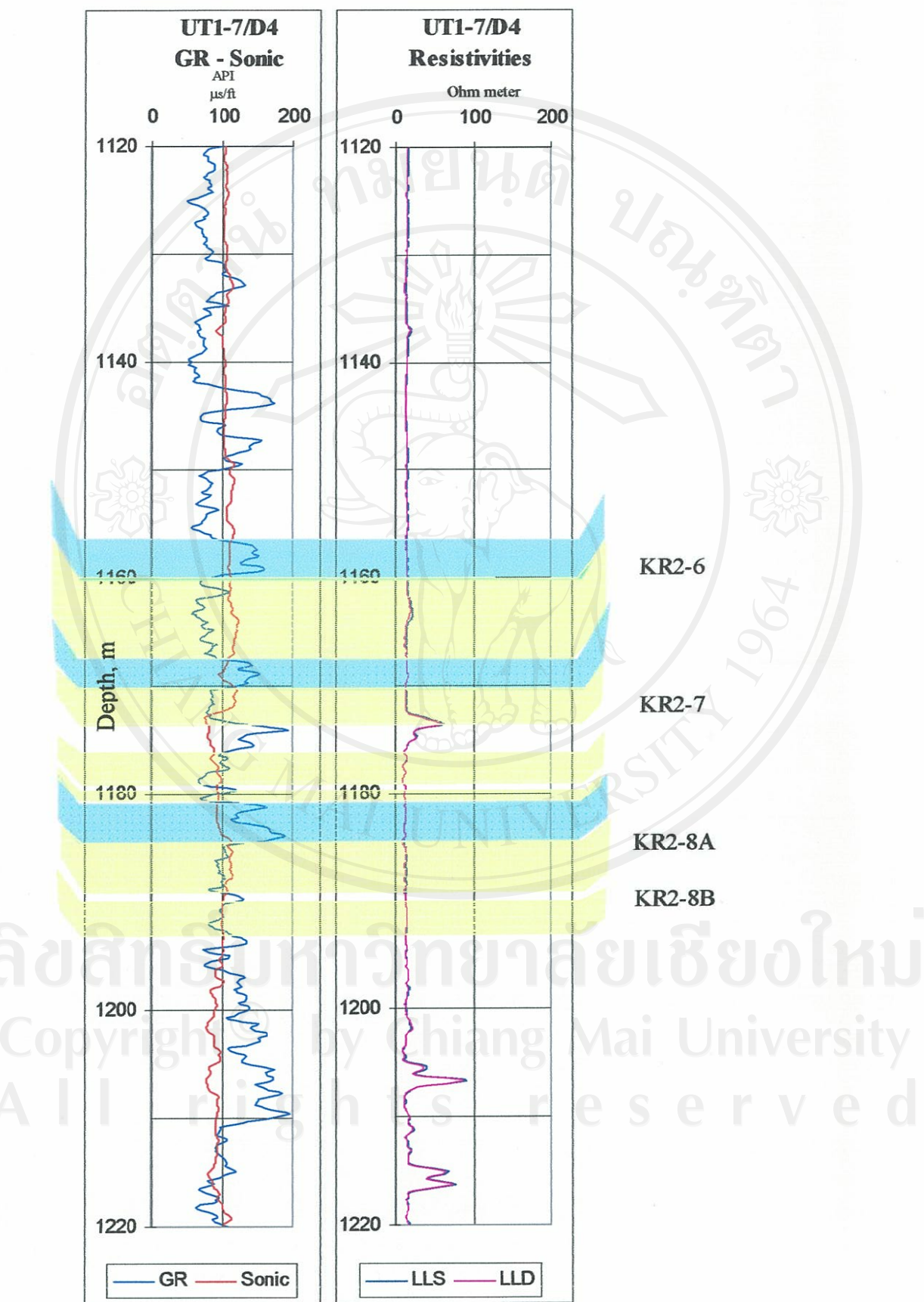


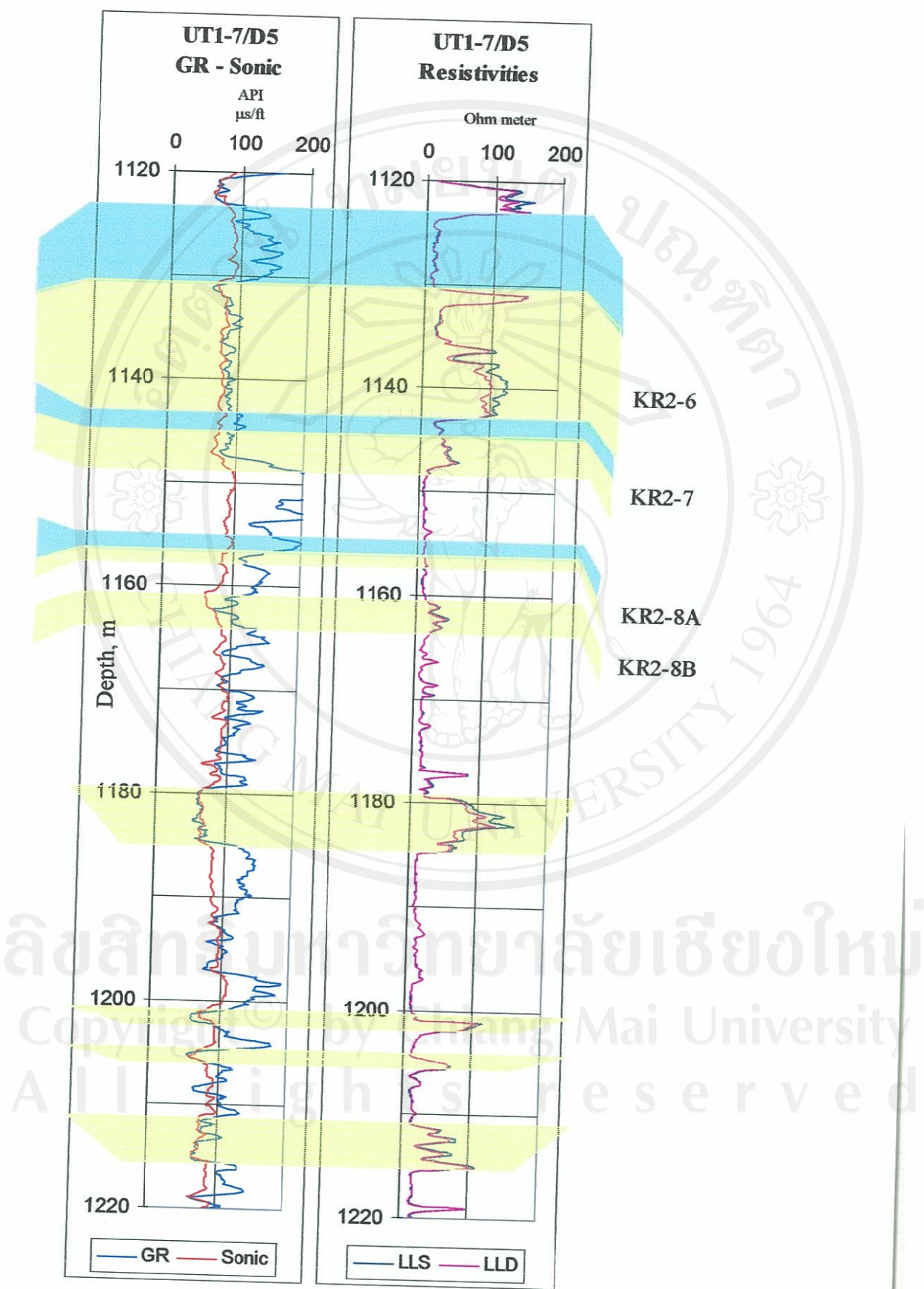


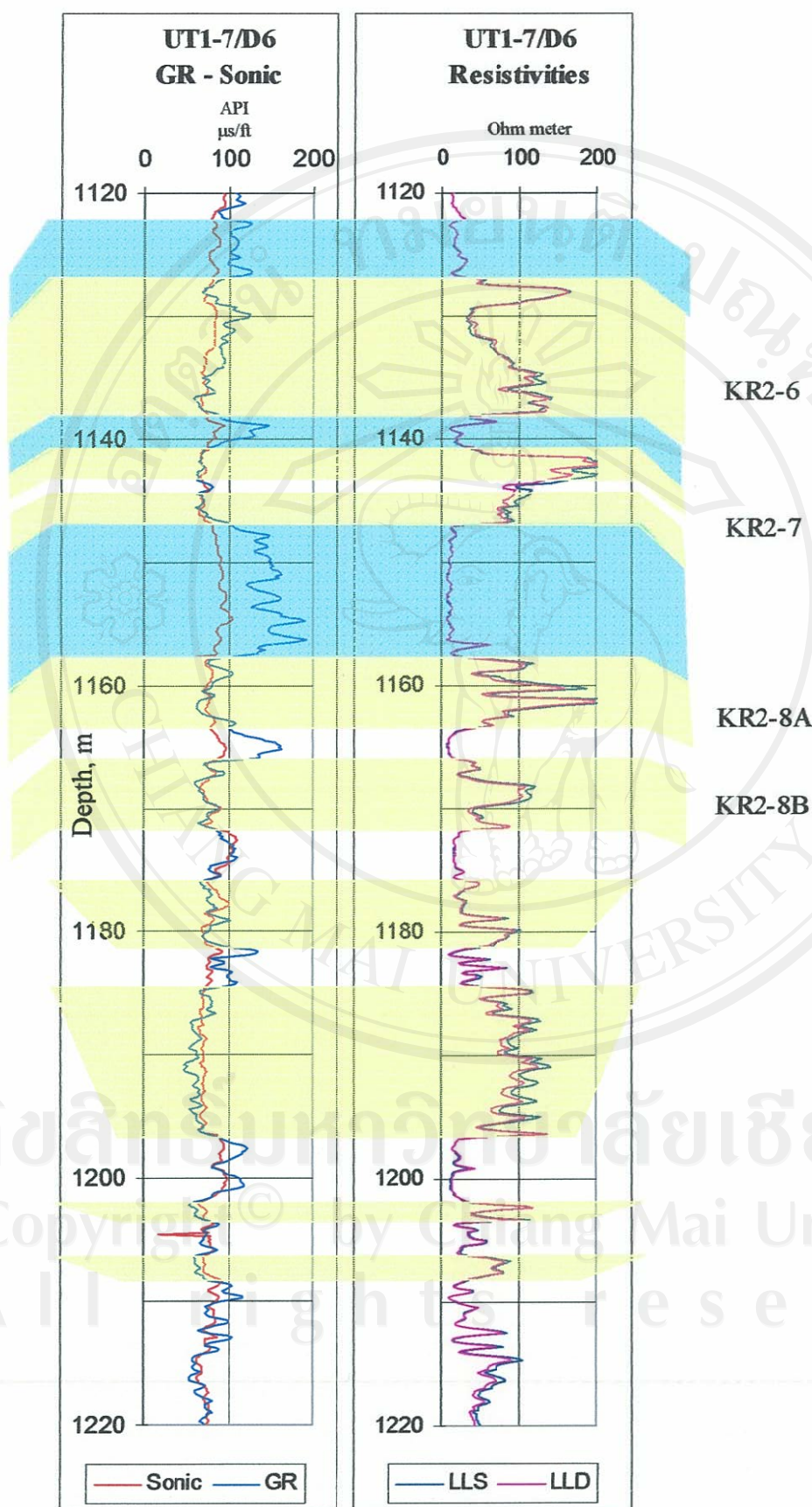


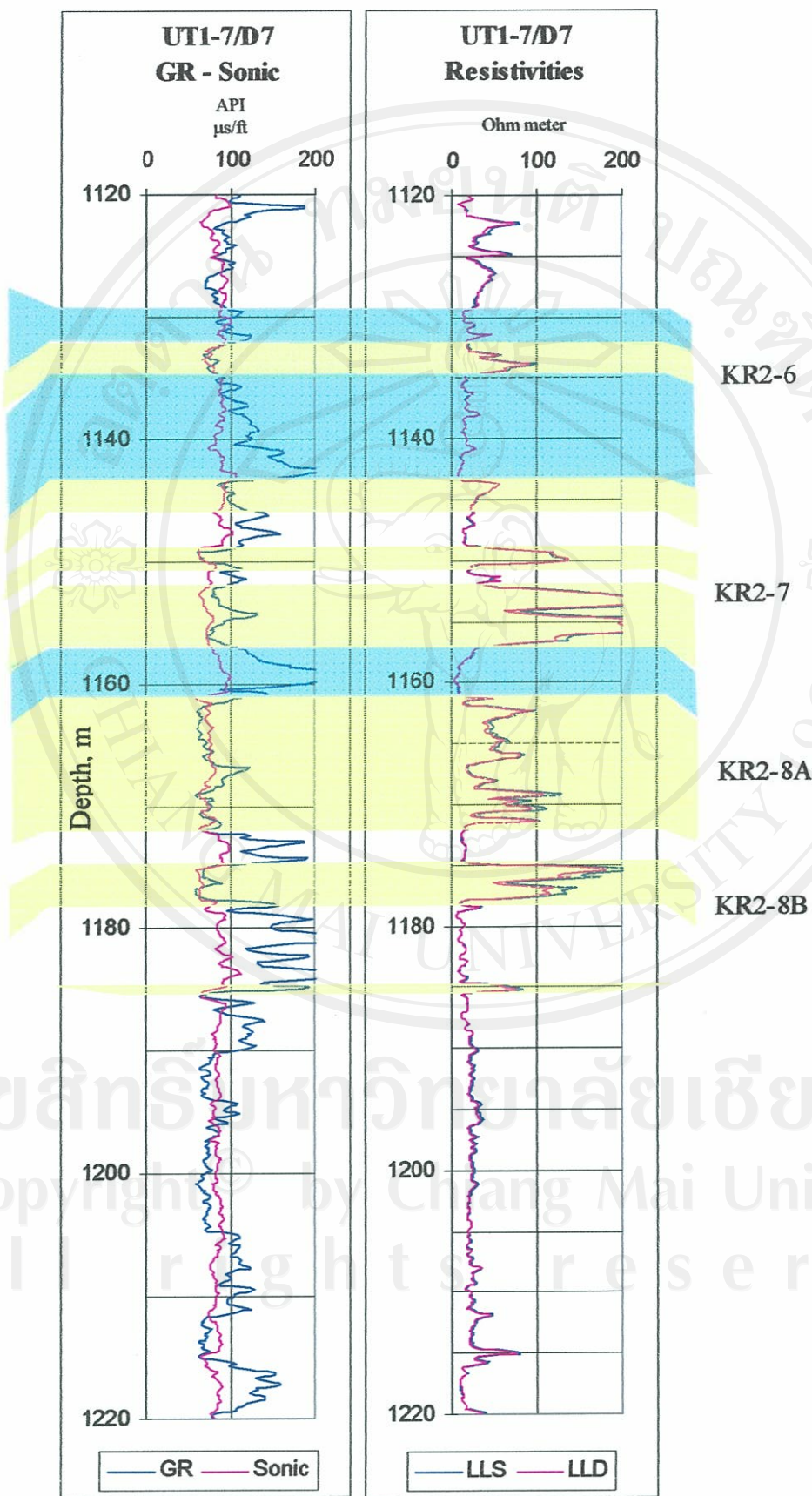


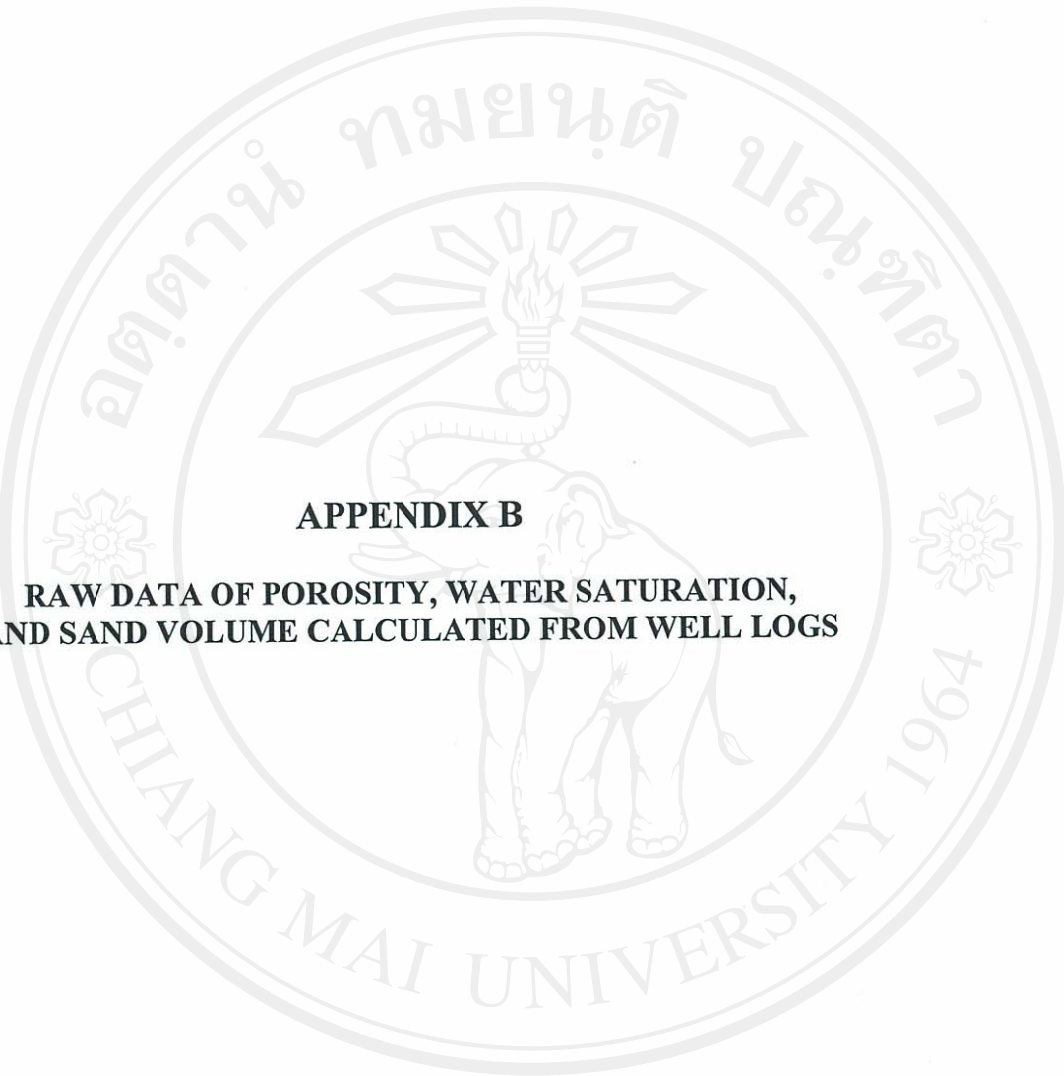
จัดทำโดย ภาควิชาภูมิศาสตร์  
มหาวิทยาลัยเชียงใหม่  
All rights reserved











## APPENDIX B

RAW DATA OF POROSITY, WATER SATURATION,  
AND SAND VOLUME CALCULATED FROM WELL LOGS

ลิขสิทธิ์มหาวิทยาลัยเชียงใหม่  
Copyright<sup>©</sup> by Chiang Mai University  
All rights reserved

Raw data of porosity, water saturation and sand volume

Well Layer	UT1-3			Well Layer	UT1-3/D1		
	$\Phi_{N-D}$	Sw	$V_{SS}$		$\Phi_{N-D}$	Sw	$V_{SS}$
KR2-6	0.09	0.49	1.00	KR2-6	0.15	0.47	0.80
	0.09	0.43	1.00		0.13	0.47	0.83
	0.11	0.40	1.00		0.11	0.48	0.84
	0.13	0.37	1.00		0.11	0.46	0.85
	0.14	0.34	0.97		0.12	0.44	0.86
	0.13	0.36	1.00		0.11	0.45	0.88
	0.12	0.39	1.00		0.09	0.44	0.92
	0.12	0.39	1.00		0.08	0.40	0.90
	0.11	0.40	0.99		0.11	0.44	0.90
	0.11	0.44	1.00		0.16	0.42	0.87
	0.10	0.47	1.00		0.19	0.38	0.85
	0.10	0.47	1.00		0.19	0.39	0.85
	0.11	0.47	0.99		0.16	0.45	0.87
	0.12	0.48	0.98		0.12	0.47	0.91
	0.12	0.48	0.98		0.09	0.48	0.95
	0.12	0.46	1.00		0.07	0.50	0.97
	0.15	0.44	1.00		0.11	0.56	1.00
	0.16	0.41	1.00		0.15	0.50	0.97
	0.16	0.40	0.99		0.17	0.46	0.96
	0.17	0.39	0.99		0.18	0.48	0.95
	0.17	0.38	0.99		0.18	0.49	0.95
	0.16	0.39	1.00		0.17	0.51	0.94
	0.15	0.38	1.00		0.17	0.53	0.91
	0.15	0.37	0.99		0.16	0.54	0.92
	0.16	0.39	0.96		0.18	0.47	0.93
	0.17	0.41	0.99		0.18	0.44	0.93
	0.18	0.46	0.97		0.18	0.41	0.94
	0.18	0.50	0.89		0.16	0.43	0.93
	0.19	0.54	0.79		0.14	0.44	0.95
	0.19	0.63	0.69		0.13	0.44	0.96
KR2-7	0.13	0.69	0.92		0.13	0.45	0.95
	0.14	0.65	0.82		0.15	0.44	0.94
	0.15	0.64	0.84		0.18	0.39	0.89
	0.19	0.51	0.87		0.21	0.34	0.89
	0.20	0.49	0.88		0.22	0.31	0.91
	0.21	0.43	0.90		0.22	0.33	0.90
	0.21	0.35	0.91		0.21	0.38	0.84
	0.20	0.40	0.94		0.18	0.46	0.80
	0.19	0.41	1.00		0.16	0.50	0.80
	0.08	0.68	1.00		0.16	0.51	0.83

Raw data of porosity, water saturation and sand volume (continued)

Well Layer	UT1-3			Well Layer	UT1-3/D1		
	$\Phi_{N-D}$	Sw	$V_{ss}$		$\Phi_{N-D}$	Sw	$V_{ss}$
KR2-7	0.11	0.69	1.00	KR2-6	0.18	0.45	0.85
	0.10	0.66	1.00		0.20	0.38	0.92
	0.09	0.68	1.00		0.22	0.34	0.97
	0.09	0.66	1.00		0.22	0.34	0.99
	0.08	0.64	1.00		0.22	0.34	0.95
	0.08	0.67	1.00		0.22	0.34	0.95
	0.08	0.69	1.00		0.21	0.36	0.92
	0.08	0.74	1.00		0.20	0.36	0.90
	0.08	0.70	1.00		0.19	0.35	0.87
	0.08	0.70	1.00		0.18	0.34	0.86
	0.08	0.69	0.98		0.16	0.34	0.85
	0.11	0.66	0.85		0.15	0.33	0.86
KR2-8A	0.16	0.62	0.98		0.14	0.35	0.90
	0.17	0.56	1.00		0.14	0.34	0.92
	0.18	0.53	1.00		0.13	0.34	0.94
	0.20	0.45	1.00		0.13	0.33	0.95
	0.21	0.43	1.00		0.13	0.32	0.96
	0.18	0.49	1.00		0.12	0.33	0.99
	0.15	0.65	1.00		0.11	0.32	0.98
KR2-8B	0.14		0.70		0.10	0.31	0.98
	0.13		0.77		0.10	0.31	0.98
	0.13		0.80		0.10	0.32	1.00
	0.14		0.77		0.10	0.33	1.00
	0.15		0.75		0.10	0.31	1.00
	0.15		0.74		0.10	0.30	1.00
	0.16		0.71		0.10	0.30	1.00
	0.18		0.72		0.09	0.30	1.00
	0.20		0.73		0.08	0.28	0.99
	0.19		0.79		0.07	0.28	1.00
	0.18		0.80		0.07	0.28	1.00
	0.17		0.93		0.08	0.29	1.00
	0.19		1.00		0.10	0.29	0.97
	0.19		1.00		0.11	0.37	0.89
	0.17		1.00		0.11	0.38	0.83
	0.15		1.00		0.10	0.40	0.79
	0.15		1.00		0.10	0.41	0.83
	0.16		1.00		0.10	0.41	0.87
	0.16		0.99		0.09	0.39	0.84
	0.15		0.98		0.08	0.41	0.82
	0.13		0.95	KR2-7	0.10	0.39	0.72

Raw data of porosity, water saturation and sand volume (continued)

Well Layer	UT1-3			Well Layer	UT1-3/D1		
	$\Phi_{N-D}$	Sw	$V_{SS}$		$\Phi_{N-D}$	Sw	$V_{SS}$
KR2-8B	0.12		0.95	KR2-7	0.10	0.36	0.77
	0.13		0.97		0.10	0.36	0.82
	0.13		0.97		0.09	0.34	0.82
	0.13		1.00		0.08	0.33	0.83
	0.14		1.00		0.07	0.34	0.85
	0.15		1.00		0.06	0.34	0.86
	0.16		0.96		0.06	0.35	0.82
	0.15		0.86		0.07	0.36	0.76
					0.07	0.37	0.71
					0.07	0.37	0.72
					0.07	0.39	0.77
					0.09	0.38	0.79
					0.10	0.37	0.79
					0.09	0.37	0.83
					0.05	0.27	1.00
					0.07	0.30	0.99
					0.08	0.32	0.98
					0.08	0.37	0.98
					0.07	0.38	0.98
					0.06	0.35	1.00
					0.06	0.34	1.00
					0.07	0.33	0.87
					0.08	0.32	0.81
					0.08	0.32	0.74
					0.04	0.29	1.00
					0.05	0.28	1.00
					0.04	0.27	1.00
					0.04	0.28	1.00
					0.03	0.28	1.00
					0.04	0.30	1.00
KR2-8A				KR2-8A	0.06	0.38	0.98
					0.08	0.39	0.94
					0.10	0.41	0.93
					0.10	0.43	0.89
					0.11	0.42	0.90
					0.13	0.42	0.95
					0.13	0.42	1.00
					0.12	0.41	1.00
					0.11	0.39	1.00
					0.10	0.38	0.98

Raw data of porosity, water saturation and sand volume (continued)

Well Layer	UT1-3/D1		
	$\Phi_{N-D}$	$S_w$	$V_{ss}$
KR2-8A	0.09	0.37	0.97
	0.08	0.37	0.94
	0.10	0.38	0.89
	0.11	0.39	0.86
KR2-8B	0.14	0.38	0.88
	0.14	0.32	0.91
	0.13	0.30	0.94
	0.11	0.30	0.98
	0.11	0.28	0.99
	0.10	0.27	1.00
	0.10	0.26	1.00
	0.11	0.23	1.00
	0.11	0.22	1.00
	0.10	0.20	1.00
	0.08	0.29	1.00
	0.09	0.20	1.00
	0.11	0.18	1.00
	0.12	0.17	1.00
	0.13	0.17	1.00
	0.12	0.27	0.97
	0.11	0.29	0.92
	0.10	0.31	0.90
	0.08	0.31	0.90
	0.07	0.24	0.94
	0.06	0.32	0.96
	0.08	0.24	0.99
	0.10	0.23	1.00
	0.10	0.22	1.00
	0.10	0.21	1.00
	0.08	0.18	0.99
	0.08	0.18	1.00
	0.09	0.27	1.00
	0.08	0.30	1.00
	0.07	0.32	0.94

Raw data of porosity, water saturation and sand volume (continued)

Well Layer	UT1-7			Well Layer	UT1-7/D1		
	$\Phi_{N-D}$	Sw	$V_{ss}$		$\Phi_{N-D}$	Sw	$V_{ss}$
KR2-6	0.17	0.46	0.96	KR2-6	0.15	0.68	1.00
	0.16	0.46	0.96		0.15	0.67	1.00
	0.18	0.43	0.95		0.14	0.70	0.99
	0.17	0.45	0.95		0.14	0.67	0.97
	0.18	0.42	0.98		0.14	0.68	0.95
	0.16	0.45	1.00		0.14	0.66	0.92
	0.16	0.45	1.00		0.15	0.65	0.91
	0.16	0.44	0.96		0.16	0.67	0.90
	0.17	0.41	0.95		0.16	0.70	0.88
	0.16	0.39	0.94		0.16	0.71	0.89
	0.16	0.37	0.92		0.16	0.70	0.85
	0.16	0.37	0.89		0.16	0.70	0.82
	0.16	0.39	0.91		0.16	0.71	0.83
	0.18	0.41	0.95		0.16	0.73	0.88
	0.19	0.45	0.95		0.10	0.73	1.00
	0.18	0.49	0.93		0.10	0.68	1.00
	0.17	0.53	0.92		0.11	0.67	1.00
	0.15	0.57	0.93		0.12	0.69	1.00
	0.16	0.53	0.96		0.11	0.73	1.00
	0.15	0.53	0.94		0.11	0.67	1.00
	0.15	0.55	0.93		0.11	0.59	1.00
	0.17	0.56	0.91		0.12	0.58	1.00
	0.16	0.56	0.91		0.13	0.59	1.00
	0.20	0.51	0.91	KR2-7	0.13	0.73	1.00
	0.18	0.55	0.90		0.13	0.73	1.00
	0.17	0.56	0.88		0.14	0.72	1.00
	0.19	0.56	0.81		0.14	0.73	1.00
	0.19	0.57	0.74		0.22	0.73	0.95
	0.22	0.58	0.74		0.22	0.70	0.94
	0.23	0.57	0.76		0.23	0.69	0.99
	0.24	0.58	0.79		0.24	0.70	1.00
	0.21	0.68	0.77		0.24	0.70	1.00
	0.20	0.70	0.76		0.24	0.71	1.00
	0.20	0.68	0.75		0.23	0.74	1.00
	0.22	0.66	0.72		0.23	0.73	1.00
	0.21	0.66	0.74		0.23	0.71	1.00
	0.18	0.67	0.77		0.23	0.68	1.00
KR2-7	0.16	0.56	0.95		0.23	0.70	0.98
	0.12	0.62	0.98		0.22	0.72	0.91
	0.13	0.56	0.99		0.19	0.73	0.85

Raw data of porosity, water saturation and sand volume (continued)

Well Layer	UT1-7			Well Layer	UT1-7/D1		
	$\Phi_{N-D}$	Sw	$V_{SS}$		$\Phi_{N-D}$	Sw	$V_{SS}$
KR2-7	0.13	0.51	1.00	KR2-7	0.11	0.69	0.89
	0.13	0.44	1.00		0.11	0.62	0.91
	0.13	0.48	1.00		0.12	0.66	1.00
	0.13	0.47	1.00		0.13	0.68	1.00
	0.14	0.39	0.97		0.13	0.67	1.00
	0.13	0.39	0.97		0.13	0.68	0.98
	0.12	0.46	1.00		0.13	0.70	0.95
	0.12	0.42	1.00		0.14	0.69	0.92
	0.11	0.42	1.00		0.15	0.69	0.85
	0.12	0.42	0.97		0.23	0.63	0.80
	0.17	0.40	0.95		0.20	0.47	0.88
	0.19	0.43	1.00		0.16	0.61	0.94
	0.15	0.53	1.00		0.12	0.53	1.00
	0.13	0.49	1.00		0.09	0.45	1.00
	0.11	0.39	1.00		0.09	0.61	1.00
KR2-8A	0.12	0.43	1.00		0.12	0.55	1.00
	0.12	0.43	1.00		0.16	0.58	1.00
	0.12	0.43	1.00		0.19	0.64	1.00
	0.12	0.43	1.00		0.20	0.63	0.96
KR2-8B	0.18	0.50	0.84		0.20	0.61	0.93
	0.19	0.53	0.75		0.20	0.60	0.91
	0.18	0.69	0.63		0.19	0.66	0.87
	0.19	0.69	0.58		0.21	0.65	0.82
	0.16	0.64	0.61		0.19	0.61	0.81
	0.17	0.49	0.70		0.17	0.63	0.84
	0.17	0.48	0.85		0.14	0.62	0.93
	0.19	0.45	0.95		0.12	0.66	1.00
	0.19	0.46	1.00		0.12	0.68	1.00
	0.19	0.49	0.98		0.14	0.63	1.00
	0.17	0.50	0.95		0.17	0.61	1.00
	0.17	0.49	0.94		0.15	0.68	0.91
	0.19	0.49	0.94		0.12	0.73	0.96
	0.21	0.49	0.91		0.09	0.71	1.00
	0.23	0.47	0.90		0.09	0.60	1.00
	0.22	0.47	0.85		0.08	0.55	1.00
	0.20	0.50	0.82		0.08	0.59	1.00
	0.21	0.48	0.80		0.07	0.62	1.00
	0.20	0.47	0.82		0.08	0.62	1.00
	0.18	0.51	0.85		0.07	0.55	1.00
	0.19	0.48	0.87		0.07	0.67	1.00

Raw data of porosity, water saturation and sand volume (continued)

Well Layer	UT1-7			Well Layer	UT1-7/D1		
	$\Phi_{N-D}$	Sw	V <sub>ss</sub>		$\Phi_{N-D}$	Sw	V <sub>ss</sub>
KR2-8B	0.18	0.50	0.93	KR2-7	0.08	0.48	1.00
	0.20	0.49	0.97		0.09	0.54	1.00
	0.21	0.50	0.98		0.09	0.53	1.00
	0.21	0.53	0.95		0.09	0.58	1.00
	0.22	0.53	0.91		0.10	0.71	1.00
	0.23	0.51	0.91		0.13	0.69	1.00
	0.21	0.54	0.93		0.15	0.63	1.00
	0.22	0.55	0.94		0.18	0.64	1.00
	0.24	0.60	0.95		0.17	0.63	0.96
	0.22	0.59	0.94		0.14	0.58	0.95
	0.20	0.61	0.95		0.12	0.59	0.99
	0.18	0.59	0.95		0.13	0.63	1.00
	0.15	0.59	0.95		0.14	0.61	1.00
	0.15	0.65	0.95		0.15	0.66	1.00
	0.18	0.61	0.95		0.14	0.70	1.00
					0.13	0.69	1.00
					0.10	0.71	1.00
					0.11	0.60	0.99
					0.11	0.59	1.00
					0.09	0.63	1.00
					0.07	0.67	1.00
					0.06	0.62	1.00
					0.06	0.59	1.00
					0.07	0.59	1.00
					0.08	0.47	1.00
					0.09	0.53	1.00
					0.09	0.55	1.00
					0.09	0.57	1.00
					0.10	0.53	1.00
					0.10	0.62	1.00
					0.11	0.57	1.00
					0.12	0.60	1.00
					0.12	0.54	1.00
					0.11	0.52	1.00
					0.10	0.57	1.00
					0.10	0.61	1.00
					0.11	0.58	1.00
					0.12	0.53	1.00
					0.12	0.48	1.00
					0.11	0.44	1.00

Raw data of porosity, water saturation and sand volume (continued)

Well Layer	UT1-7/D1			Well Layer	UT1-7/D1		
	$\Phi_{N-D}$	Sw	$V_{ss}$		$\Phi_{N-D}$	Sw	$V_{ss}$
KR2-7	0.09	0.42	1.00	KR2-8A	0.10	0.70	0.93
	0.09	0.44	1.00		0.10	0.68	0.96
	0.10	0.45	1.00		0.11	0.70	1.00
	0.12	0.41	1.00		0.11	0.66	0.98
	0.15	0.37	1.00		0.11	0.67	0.97
	0.16	0.39	1.00		0.11	0.64	0.93
	0.16	0.39	1.00		0.12	0.66	0.96
	0.14	0.39	1.00		0.12	0.67	0.96
	0.12	0.50	1.00		0.12	0.67	0.99
	0.11	0.50	1.00		0.12	0.64	0.96
	0.11	0.63	1.00		0.11	0.66	0.98
	0.13	0.56	1.00		0.11	0.64	0.96
	0.13	0.56	1.00		0.11	0.66	0.99
	0.12	0.52	1.00		0.11	0.63	0.93
	0.10	0.58	1.00		0.12	0.64	0.94
	0.10	0.60	1.00		0.12	0.63	0.95
	0.12	0.58	1.00		0.12	0.62	0.99
	0.14	0.67	1.00		0.11	0.60	0.99
	0.16	0.57	1.00		0.10	0.59	1.00
	0.15	0.60	1.00		0.09	0.58	0.99
	0.15	0.64	0.93		0.10	0.55	0.95
	0.15	0.65	0.95		0.11	0.58	0.87
	0.16	0.65	0.97	KR2-8B	0.14	0.70	0.94
	0.16	0.66	0.96		0.16	0.59	0.95
	0.16	0.68	0.93		0.15	0.52	0.97
	0.15	0.66	0.92		0.12	0.59	1.00
	0.15	0.65	0.90		0.09	0.61	1.00
	0.15	0.64	0.84		0.08	0.64	1.00
	0.15	0.61	0.80		0.08	0.54	1.00
	0.15	0.61	0.76		0.10	0.50	1.00
KR2-8A	0.13	0.65	0.69	KR2-8B	0.12	0.49	1.00
	0.13	0.68	0.72		0.12	0.50	1.00
	0.12	0.71	0.78		0.11	0.57	1.00
	0.12	0.73	0.83		0.10	0.59	1.00
	0.12	0.71	0.85		0.08	0.57	1.00
	0.12	0.69	0.87		0.08	0.57	1.00
	0.12	0.68	0.92		0.09	0.57	1.00
	0.11	0.68	0.94		0.11	0.52	1.00
	0.10	0.71	0.94		0.12	0.51	1.00
	0.10	0.69	0.91		0.11	0.50	1.00

Raw data of porosity, water saturation and sand volume (continued)

Well Layer	UT1-7/D1		
	$\Phi_{N-D}$	Sw	V <sub>ss</sub>
KR2-8B	0.09	0.50	1.00
	0.07	0.51	1.00
	0.08	0.39	1.00
	0.09	0.41	1.00
	0.11	0.57	1.00
	0.11	0.55	1.00
	0.11	0.59	1.00
	0.11	0.64	1.00
	0.10	0.73	1.00
	0.10	0.71	1.00
	0.10	0.67	1.00
	0.12	0.48	1.00
	0.12	0.66	1.00
	0.10	0.67	1.00
	0.09	0.63	1.00
	0.09	0.71	1.00
	0.09	0.67	1.00
	0.10	0.66	1.00
	0.12	0.58	1.00
	0.13	0.56	1.00
	0.13	0.60	0.97
	0.10	0.61	0.99
	0.10	0.56	1.00
	0.09	0.54	1.00
	0.11	0.49	1.00
	0.13	0.43	0.98
	0.14	0.69	0.91
	0.14	0.68	0.93
	0.14	0.65	0.92
	0.13	0.67	0.93
	0.12	0.63	0.95
	0.12	0.58	0.95
	0.12	0.59	0.92
	0.12	0.35	0.94
	0.12	0.57	0.93
	0.12	0.59	0.90
	0.13	0.56	0.84
	0.14	0.59	0.78
	0.15	0.64	0.66

Raw data of porosity, water saturation and sand volume (continued)

Well Layer	UT1-7/D2			Well Layer	UT1-7/D3		
	$\Phi_{N-D}$	Sw	$V_{SS}$		$\Phi_{N-D}$	Sw	$V_{SS}$
KR2-6	0.15	0.72	0.71	KR2-6	0.13	0.54	1.00
	0.15	0.70	0.72		0.15	0.51	0.97
	0.13	0.67	0.72		0.15	0.51	1.00
	0.15	0.64	0.79		0.15	0.51	1.00
	0.16	0.61	0.81		0.14	0.53	1.00
	0.17	0.55	0.89		0.13	0.51	1.00
	0.20	0.44	0.94		0.12	0.52	1.00
	0.20	0.42	1.00		0.14	0.51	1.00
	0.21	0.39	1.00		0.13	0.53	1.00
	0.21	0.38	1.00		0.14	0.56	0.96
	0.20	0.39	1.00		0.15	0.60	0.92
	0.21	0.39	1.00		0.16	0.61	0.85
	0.21	0.41	1.00		0.15	0.64	0.86
	0.21	0.40	1.00		0.15	0.66	0.84
	0.19	0.43	0.98		0.14	0.66	0.83
	0.18	0.46	0.98		0.14	0.67	0.82
	0.18	0.46	1.00		0.14	0.70	0.82
	0.16	0.52	1.00		0.15	0.72	0.85
	0.15	0.60	1.00		0.15	0.70	0.89
	0.14	0.67	1.00		0.16	0.68	0.93
	0.13	0.65	1.00		0.17	0.67	0.97
	0.14	0.58	1.00		0.17	0.63	0.95
	0.14	0.52	1.00		0.17	0.62	0.95
	0.15	0.47	1.00		0.16	0.64	0.94
	0.15	0.49	1.00		0.16	0.64	0.90
	0.14	0.56	1.00		0.15	0.65	0.91
	0.13	0.58	1.00		0.14	0.70	0.89
	0.12	0.63	1.00		0.14	0.72	0.92
	0.14	0.53	1.00		0.14	0.68	0.93
	0.15	0.51	1.00		0.14	0.64	0.95
	0.16	0.51	1.00		0.14	0.61	0.95
	0.15	0.54	1.00		0.15	0.59	0.96
	0.16	0.57	1.00		0.15	0.59	0.98
	0.15	0.62	1.00		0.16	0.61	1.00
	0.15	0.68	1.00		0.16	0.61	0.96
	0.16	0.68	1.00		0.16	0.60	0.93
	0.16	0.74	1.00		0.17	0.57	0.89
	0.17	0.64	1.00		0.20	0.54	0.92
	0.17	0.59	0.97		0.21	0.51	0.97
	0.18	0.55	0.93		0.21	0.49	1.00

Raw data of porosity, water saturation and sand volume (continued)

Well Layer	UT1-7/D2			Well Layer	UT1-7/D3		
	$\Phi_{N-D}$	Sw	$V_{ss}$		$\Phi_{N-D}$	Sw	$V_{ss}$
KR2-6	0.19	0.56	0.97	KR2-6	0.19	0.50	1.00
	0.19	0.54	0.98		0.19	0.50	1.00
	0.19	0.54	0.98		0.19	0.50	1.00
	0.20	0.50	0.96		0.19	0.52	1.00
	0.21	0.46	0.96		0.18	0.53	1.00
	0.21	0.44	0.93		0.18	0.53	1.00
	0.19	0.48	0.94		0.18	0.53	0.98
	0.18	0.56	0.96		0.18	0.54	0.96
	0.16	0.61	1.00		0.17	0.57	0.98
	0.15	0.63	1.00		0.16	0.58	0.99
KR2-7	0.17	0.55	1.00		0.16	0.59	1.00
	0.10	0.62	0.64		0.16	0.59	1.00
	0.12	0.73	0.78		0.15	0.63	1.00
	0.18	0.72	0.87		0.14	0.71	1.00
	0.19	0.56	0.96		0.14	0.72	0.90
	0.19	0.51	0.97		0.12	0.67	0.89
	0.19	0.46	1.00		0.12	0.61	0.88
	0.20	0.42	1.00		0.11	0.60	0.87
	0.21	0.41	1.00		0.12	0.59	0.85
	0.20	0.42	1.00		0.13	0.60	0.86
	0.20	0.42	1.00		0.15	0.63	0.90
	0.19	0.45	1.00		0.17	0.64	0.93
	0.19	0.44	1.00		0.18	0.64	0.94
	0.18	0.46	1.00		0.18	0.65	0.91
	0.18	0.48	1.00		0.18	0.66	0.91
	0.18	0.47	1.00		0.17	0.67	0.90
	0.18	0.45	1.00		0.15	0.68	0.90
	0.18	0.46	1.00		0.14	0.66	0.90
	0.17	0.48	1.00		0.13	0.62	0.93
	0.16	0.52	1.00		0.13	0.67	0.91
	0.17	0.51	1.00		0.12	0.66	0.89
	0.17	0.51	1.00		0.11	0.65	0.89
	0.18	0.50	1.00		0.11	0.66	0.93
	0.17	0.51	1.00		0.11	0.67	0.93
	0.16	0.52	1.00		0.11	0.67	0.94
	0.17	0.51	1.00		0.11	0.70	0.95
	0.17	0.50	1.00		0.12	0.72	0.99
	0.17	0.52	1.00		0.13	0.67	1.00
	0.16	0.61	1.00		0.13	0.56	1.00
	0.16	0.69	1.00		0.14	0.51	1.00

Raw data of porosity, water saturation and sand volume (continued)

Well Layer	UT1-7/D2			Well Layer	UT1-7/D3		
	$\Phi_{N-D}$	Sw	$V_{SS}$		$\Phi_{N-D}$	Sw	$V_{SS}$
KR2-7	0.17	0.66	0.99	KR2-6	0.13	0.51	0.97
	0.18	0.66	1.00		0.13	0.50	0.91
	0.18	0.66	1.00		0.14	0.46	0.81
	0.17	0.71	0.98		0.16	0.59	0.73
	0.08	0.64	0.99		0.18	0.72	0.64
	0.11	0.70	0.64	KR2-7	0.14	0.62	0.94
	0.15	0.66	0.76		0.15	0.59	0.96
	0.17	0.61	0.88		0.14	0.60	0.96
	0.16	0.74	0.92		0.14	0.60	0.97
	0.15	0.67	0.83		0.14	0.57	1.00
KR2-8A	0.11	0.69	0.70		0.14	0.57	1.00
	0.14	0.73	0.68		0.13	0.58	1.00
	0.17	0.71	0.78		0.13	0.56	1.00
	0.18	0.73	0.84		0.12	0.57	1.00
	0.18	0.59	0.97		0.11	0.59	1.00
	0.18	0.60	0.97		0.11	0.50	0.98
KR2-8B	0.20	0.66	0.98		0.11	0.59	0.91
	0.12	0.70	0.65		0.12	0.73	1.00
	0.12	0.69	0.75		0.12	0.66	1.00
	0.15	0.70	0.99		0.12	0.61	1.00
	0.18	0.65	0.99		0.11	0.61	1.00
	0.21	0.70	0.95		0.11	0.59	1.00
	0.17	0.68	0.85		0.10	0.59	1.00
	0.15	0.68	0.87		0.10	0.56	1.00
	0.16	0.70	0.93		0.11	0.57	0.99
	0.16	0.67	0.98		0.13	0.63	0.99
	0.15	0.69	1.00		0.15	0.59	0.98
	0.17	0.65	0.98		0.15	0.62	0.94
	0.17	0.76	0.98		0.14	0.67	0.93
	0.17	0.71	0.96		0.12	0.73	0.98
	0.18	0.68	0.96		0.10	0.73	1.00
	0.18	0.65	0.95		0.09	0.69	1.00
	0.20	0.61	0.96		0.09	0.65	1.00
	0.21	0.72	0.96		0.11	0.61	1.00
	0.23	0.70	0.93		0.12	0.58	0.99
					0.14	0.56	0.92
					0.15	0.55	0.80
					0.16	0.62	0.76
					0.13	0.58	1.00
					0.13	0.53	1.00

Raw data of porosity, water saturation and sand volume (continued)

Well Layer	UT1-7/D3			Well Layer	UT1-7/D3		
	$\Phi_{N-D}$	Sw	V <sub>ss</sub>		$\Phi_{N-D}$	Sw	V <sub>ss</sub>
KR2-7	0.14	0.50	1.00	KR2-8B	0.14	0.61	1.00
	0.14	0.54	1.00		0.14	0.60	1.00
	0.13	0.58	1.00		0.12	0.58	1.00
	0.11	0.59	1.00		0.12	0.58	1.00
	0.11	0.64	1.00		0.12	0.60	1.00
	0.11	0.68	1.00		0.14	0.60	1.00
	0.10	0.70	1.00		0.15	0.59	1.00
	0.12	0.67	0.97		0.14	0.60	1.00
	0.14	0.73	0.89		0.15	0.67	1.00
KR2-8A	0.09	0.71	1.00	KR2-8B	0.16	0.60	0.98
	0.09	0.69	1.00		0.19	0.50	0.99
	0.09	0.64	1.00		0.21	0.45	0.99
	0.11	0.62	1.00		0.21	0.45	0.95
	0.14	0.60	1.00		0.21	0.49	0.93
	0.15	0.61	1.00		0.20	0.52	0.88
	0.14	0.60	1.00		0.19	0.53	0.88
	0.13	0.61	1.00		0.19	0.53	0.87
	0.13	0.63	0.98		0.19	0.53	0.90
	0.13	0.66	0.99		0.19	0.53	0.95
	0.12	0.69	0.99		0.19	0.53	0.97
	0.12	0.73	1.00		0.18	0.56	0.98
	0.12	0.72	1.00		0.17	0.58	0.93
	0.13	0.71	0.92		0.14	0.63	0.86

Raw data of porosity, water saturation and sand volume (continued)

Well Layer	UT1-7/D4			Well Layer	UT1-7/D5		
	$\Phi_{N-D}$	Sw	$V_{SS}$		$\Phi_{N-D}$	Sw	$V_{SS}$
KR2-6	0.21		0.80	KR2-6	0.20		0.95
	0.20		0.94		0.20		0.97
	0.20		1.00		0.20		0.97
	0.20		1.00		0.21		0.98
	0.20		1.00		0.20		0.97
	0.21		1.00		0.20		0.96
	0.21		1.00		0.19		0.95
	0.22		0.97		0.19		0.94
	0.23		0.86		0.19		0.92
	0.26		0.71		0.19		0.92
	0.25		0.71		0.20		0.93
	0.23		0.76		0.20		0.93
	0.22		0.84		0.21		0.94
	0.21		0.93		0.22		0.95
	0.21		1.00		0.22		0.96
	0.21		1.00		0.22		0.96
	0.21		1.00		0.22		0.96
	0.22		1.00		0.22		0.96
	0.24		1.00		0.21		0.94
	0.25		0.99		0.20		0.94
	0.26		1.00		0.19		0.94
	0.25		1.00		0.18		0.94
	0.23		1.00		0.18		0.94
	0.23		1.00		0.18		0.95
	0.23		1.00		0.16		0.96
	0.23		1.00		0.16		0.96
	0.23		1.00		0.16		0.96
	0.24		1.00		0.17		0.95
	0.26		0.97		0.18		0.95
	0.26		1.00		0.18		0.95
	0.25		1.00		0.18		0.94
	0.24		1.00		0.19		0.95
	0.25		1.00	KR2-7	0.18		0.92
	0.26		0.89		0.18		0.94
	0.27		0.90		0.18		0.95
	0.26		0.97		0.17		0.92
	0.25		1.00		0.16		0.92
	0.24		1.00		0.15		0.92
	0.23		1.00		0.14		0.94
	0.23		1.00		0.15		0.93

Raw data of porosity, water saturation and sand volume (continued)

Well Layer	UT1-7/D4			Well Layer	UT1-7/D5		
	$\Phi_{N-D}$	Sw	$V_{ss}$		$\Phi_{N-D}$	Sw	$V_{ss}$
KR2-6	0.23		1.00	KR2-7	0.15		0.93
	0.24		0.92		0.16		0.93
	0.24		0.86		0.17		0.93
	0.25		0.90		0.17		0.95
	0.24		0.91		0.17		0.95
	0.24		0.93		0.16		0.95
	0.23		0.97		0.15		0.94
	0.23		1.00		0.14		0.95
	0.22		0.93		0.12		0.97
	0.21		0.87		0.11		0.97
	0.19		0.88		0.11		0.97
KR2-7	0.24		0.61	KR2-8A	0.12		0.96
	0.23		0.69		0.16		0.96
	0.24		0.83		0.19		0.94
	0.24		0.93		0.27		0.97
	0.24		0.94		0.26		0.95
	0.24		0.90		0.26		0.92
	0.23		0.90		0.26		0.89
	0.23		0.90		0.24		0.87
	0.23		0.92		0.24		0.86
	0.23		0.92		0.24		0.88
	0.23		0.91		0.24		0.89
	0.23		0.90		0.24		0.91
	0.23		0.93		0.24		0.90
	0.24		0.94		0.23		0.90
	0.23		0.95		0.22		0.88
KR2-8B	0.21		0.96	KR2-8B	0.17		0.71
	0.19		0.98		0.13		0.74
	0.16		0.96		0.08		0.76
	0.14		0.94		0.07		0.78
	0.13		0.95		0.09		0.74
	0.13		0.92		0.09		0.76
	0.14		0.81		0.09		0.73
	0.16		0.62		0.10		0.77
	0.20		0.46		0.11		0.76
	0.24		0.32		0.09		0.82
	0.14		0.83		0.10		0.86
	0.15		0.72		0.10		0.91
	0.15		0.70		0.11		0.93
	0.15		0.74		0.12		0.93

Raw data of porosity, water saturation and sand volume (continued)

Well Layer	UT1-7/D4			Well Layer	UT1-7/D5		
	$\Phi_{N-D}$	Sw	$V_{ss}$		$\Phi_{N-D}$	Sw	$V_{ss}$
KR2-7	0.15		0.79	KR2-8B	0.14		0.91
	0.14		0.80		0.16		0.88
	0.14		0.76		0.17		0.87
	0.15		0.68		0.20		0.88
	0.16		0.66		0.21		0.90
	0.15		0.73		0.20		0.93
	0.11		0.90		0.20		0.95
	0.11		0.97		0.20		0.97
	0.11		0.98		0.20		0.97
	0.11		1.00		0.22		0.95
	0.12		1.00				
	0.12		1.00				
	0.13		1.00				
	0.13		1.00				
	0.13		1.00				
	0.13		0.89				
	0.13		1.00				
	0.13		1.00				
	0.14		1.00				
	0.17		0.90				
	0.20		0.60				
KR2-8A	0.24		0.51				
	0.23		0.66				
	0.23		0.74				
	0.23		0.76				
	0.24		0.75				
	0.25		0.74				
	0.26		0.74				
	0.27		0.73				
	0.28		0.71				
	0.28		0.71				
	0.27		0.80				
	0.27		0.86				
	0.27		0.85				
	0.28		0.84				
	0.28		0.85				
	0.29		0.84				
	0.29		0.83				
	0.29		0.82				
	0.30		0.83				

Raw data of porosity, water saturation and sand volume (continued)

Well Layer	UT1-7/D4		
	$\Phi_{N-D}$	$S_w$	$V_{ss}$
KR2-8A	0.30		0.80
	0.29		0.76
	0.28		0.74
	0.28		0.74
	0.27		0.78
	0.25		0.80
KR2-8B	0.24		0.77
	0.22		0.74
	0.20		0.79
	0.18		0.94
	0.18		0.94
	0.20		0.85
	0.23		0.64
	0.21		0.75
	0.20		0.77
	0.21		0.79
	0.21		0.78
	0.22		0.82
	0.22		0.82
	0.22		0.77
	0.22		0.76
	0.21		0.76
	0.21		0.79
	0.20		0.84
	0.20		0.89
	0.19		0.94
	0.19		0.95
	0.18		0.92
	0.18		0.87
	0.19		0.78
	0.21		0.72
	0.21		0.70
	0.21		0.68

Raw data of porosity, water saturation and sand volume (continued)

Well Layer	UT1-7/D6			Well Layer	UT1-7/D7		
	$\Phi_{N-D}$	Sw	$V_{SS}$		$\Phi_{N-D}$	Sw	$V_{SS}$
KR2-6	0.21		0.91	KR2-6	0.26		0.91
	0.21		0.93		0.28		0.92
	0.21		0.93		0.30		0.94
	0.20		0.95		0.30		0.96
	0.19		0.95		0.30		0.98
	0.18		0.98		0.30		0.97
	0.16		0.97		0.29		0.96
	0.15		0.98		0.26		0.93
	0.15		0.97		0.28		0.92
	0.15		0.96		0.27		0.94
	0.16		0.92		0.26		0.95
	0.15		0.92		0.24		0.96
	0.15		0.92		0.24		0.95
	0.15		0.93		0.23		0.92
	0.16		0.91		0.25		0.86
	0.19		0.84		0.26		0.84
	0.22		0.76		0.26		0.84
	0.22		0.79		0.28		0.85
	0.22		0.77		0.28		0.87
	0.23		0.67		0.27		0.93
	0.23		0.57		0.27		0.93
	0.23		0.55		0.26		0.95
	0.23		0.60		0.26		0.97
	0.23		0.72		0.19		1.00
	0.22		0.82		0.20		1.00
	0.22		0.87		0.19		1.00
	0.22		0.88		0.16		0.98
	0.22		0.86		0.18		0.98
	0.22		0.81		0.20		0.99
	0.23		0.77		0.21		0.99
	0.23		0.78		0.21		1.00
	0.22		0.81		0.21		0.99
	0.23		0.85		0.20		0.99
	0.23		0.89		0.20		0.99
	0.22		0.90		0.21		0.98
	0.22		0.86	KR2-7	0.30		0.90
	0.22		0.84		0.29		0.94
	0.22		0.88		0.28		0.96
	0.22		0.89		0.27		0.97
	0.22		0.90		0.26		0.97

Raw data of porosity, water saturation and sand volume (continued)

Well Layer	UT1-7/D6			Well Layer	UT1-7/D7		
	$\Phi_{N-D}$	Sw	$V_{SS}$		$\Phi_{N-D}$	Sw	$V_{SS}$
KR2-6	0.22		0.90	KR2-7	0.26		0.94
	0.21		0.89		0.27		0.95
	0.19		0.90		0.28		0.95
	0.17		0.89		0.29		0.94
	0.16		0.89		0.28		0.92
	0.16		0.88		0.27		0.92
	0.15		0.87		0.27		0.93
	0.15		0.87		0.27		0.94
	0.15		0.88		0.27		0.94
	0.15		0.88		0.27		0.94
	0.15		0.88		0.27		0.94
	0.14		0.92		0.26		0.93
	0.15		0.94		0.26		0.92
	0.14		0.94		0.26		0.91
	0.12		0.95		0.26		0.90
	0.13		0.97		0.26		0.88
	0.14		0.98		0.26		0.78
	0.15		0.97		0.26		0.82
	0.15		0.96		0.25		0.87
	0.15		0.97		0.25		0.90
	0.13		0.97		0.24		0.91
	0.15		0.97		0.25		0.91
	0.16		0.96		0.26		0.89
	0.17		0.94		0.27		0.89
	0.18		0.93		0.29		0.86
	0.18		0.93		0.30		0.79
	0.17		0.97		0.28		0.71
	0.13		1.00		0.27		0.64
	0.12		1.00		0.13		0.60
	0.11		1.00		0.15		0.66
	0.11		1.00		0.18		0.79
	0.12		1.00		0.21		0.84
	0.13		0.99		0.22		1.00
	0.12		0.99		0.17		0.99
	0.12		0.99		0.18		0.97
	0.13		0.98		0.17		0.95
	0.13		0.96		0.18		0.94
	0.15		0.93		0.20		0.93
	0.17		0.91		0.20		0.90

Raw data of porosity, water saturation and sand volume (continued)

Well Layer	UT1-7/D6			Well Layer	UT1-7/D7		
	$\Phi_{N-D}$	Sw	V <sub>ss</sub>		$\Phi_{N-D}$	Sw	V <sub>ss</sub>
KR2-6	0.17		0.96	KR2-7	0.19		0.87
KR2-7	0.12		0.99		0.19		0.90
	0.12		0.99		0.17		0.90
	0.13		0.99		0.15		0.92
	0.12		0.99		0.14		0.93
	0.12		0.99		0.12		0.95
	0.13		0.99		0.10		0.96
	0.14		0.98		0.09		0.97
	0.15		0.98		0.10		0.98
	0.16		0.98		0.12		0.98
	0.16		0.99		0.12		0.98
	0.15		1.00		0.13		0.98
	0.14		1.00		0.13		0.98
	0.12		1.00		0.13		0.98
	0.11		1.00		0.13		0.97
	0.12		1.00		0.13		0.97
	0.13		1.00		0.15		0.97
	0.13		0.98		0.15		0.97
	0.14		0.96		0.16		0.97
	0.15		0.95		0.16		0.97
	0.16		0.94		0.17		0.96
	0.17		0.95		0.18		0.96
	0.18		0.97		0.19		0.94
	0.16		0.99		0.20		0.93
	0.13		1.00		0.21		0.90
	0.13		0.99		0.21		0.85
	0.13		0.98		0.21		0.80
	0.14		0.98		0.22		0.79
	0.14		0.98		0.19		0.82
	0.14		0.98		0.18		0.88
	0.14		0.98		0.17		0.91
	0.14		0.99		0.17		0.94
	0.17		0.98		0.16		0.95
KR2-8A	0.19		0.91		0.16		0.96
	0.18		0.96		0.16		0.96
	0.16		0.96		0.16		0.97
	0.15		0.97		0.16		0.97
	0.16		0.95		0.16		0.98
	0.18		0.92		0.16		0.99
	0.20		0.88		0.15		0.98

Raw data of porosity, water saturation and sand volume (continued)

Well Layer	UT1-7/D6			Well Layer	UT1-7/D7		
	$\Phi_{N-D}$	Sw	$V_{ss}$		$\Phi_{N-D}$	Sw	$V_{ss}$
KR2-8A	0.21		0.84	KR2-7	0.16		0.98
	0.21		0.80		0.17		0.98
	0.21		0.79		0.17		0.99
	0.21		0.82		0.17		1.00
	0.21		0.87		0.18		0.99
	0.20		0.90		0.18		0.99
	0.19		0.93		0.20		0.98
	0.19		0.94		0.20		0.97
	0.18		0.94		0.20		0.96
	0.17		0.94		0.21		0.96
	0.16		0.95		0.21		0.94
	0.15		0.97		0.22		0.92
	0.15		0.98		0.23		0.90
	0.17		0.97		0.24		0.88
	0.18		0.94		0.24		0.87
	0.20		0.93		0.25		0.85
	0.19		0.96	KR2-8A	0.17		1.00
	0.18		0.98		0.19		1.00
	0.19		0.99		0.18		1.00
	0.18		1.00		0.16		1.00
	0.18		1.00		0.15		1.00
	0.17		1.00		0.15		1.00
	0.17		1.00		0.19		1.00
	0.16		1.00		0.20		1.00
	0.17		0.99		0.21		1.00
	0.19		0.98		0.20		1.00
	0.19		0.97		0.19		1.00
	0.21		0.95		0.18		1.00
	0.22		0.92		0.17		1.00
	0.23		0.85		0.17		1.00
	0.23		0.77		0.18		1.00
	0.22		0.76		0.19		1.00
	0.21		0.80		0.18		1.00
	0.20		0.83		0.17		1.00
	0.20		0.84		0.17		1.00
	0.21		0.80		0.19		1.00
KR2-8B	0.23		0.69		0.20		1.00
	0.21		0.91		0.20		1.00
	0.17		0.97		0.19		1.00
	0.18		0.98		0.18		1.00

Raw data of porosity, water saturation and sand volume (continued)

Well Layer	UT1-7/D6			Well Layer	UT1-7/D7		
	$\Phi_{N-D}$	Sw	$V_{ss}$		$\Phi_{N-D}$	Sw	$V_{ss}$
KR2-8B	0.18		0.97	KR2-8A	0.19		0.99
	0.19		0.96		0.19		1.00
	0.20		0.94		0.20		1.00
	0.22		0.91		0.20		1.00
	0.23		0.88		0.19		1.00
	0.24		0.87		0.19		0.99
	0.22		0.88		0.17		0.98
	0.20		0.95		0.17		0.98
	0.19		0.97		0.18		0.98
	0.19		0.99		0.18		1.00
	0.16		1.00		0.20		1.00
	0.13		1.00		0.20		1.00
	0.13		1.00		0.16		1.00
	0.12		0.99		0.16		1.00
	0.12		0.99		0.16		0.99
	0.15		1.00		0.17		0.98
	0.14		0.99		0.18		0.98
	0.15		0.98		0.18		0.98
	0.16		0.98		0.15		0.96
	0.16		0.98		0.22		0.89
	0.17		0.98		0.22		0.85
	0.18		0.97		0.21		0.85
	0.19		0.96		0.20		0.89
	0.21		0.94		0.18		0.82
	0.24		0.91	KR2-8B	0.29		0.99
	0.26		0.90		0.26		0.99
	0.26		0.91		0.21		0.98
	0.25		0.93		0.13		0.98
	0.22		0.96		0.10		0.98
	0.19		0.97		0.11		0.99
	0.18		0.96				
	0.18		0.96				
	0.20		0.97				
	0.21		0.98				
	0.20		0.99				
	0.15		0.98				
	0.16		0.97				
	0.21		0.94				
	0.25		0.93				
	0.30		0.92				

## CURRICULUM VITAE

**Name :** Vu Minh Tuan

**Date of Birth :** 7 April 1974

**Educational Background :** graduated from Mining and Geology University of Ha Noi, Viet Nam, in 1996 as petroleum geologist

**Working Experience :** 1996 - 2003, worked in core and PVT laboratory of Vietnam Petroleum Institute as core and PVT analyst.

2003 - Present, worked in Exploration Department of PetroVietnam Exploration and Production Company as petroleum geologist.

â€¢ บริษัท มหาวิทยาลัยเชียงใหม่  
Copyright<sup>©</sup> by Chiang Mai University  
All rights reserved